

Электронная структура и параметры основного состояния жаропрочных сплавов $\text{Ru}_{1-x}\text{Me}_x\text{Al}$

© И.Д. Блесков¹, Э.И. Исаев^{1,2}, Ю.Х. Векилов¹

¹ Национальный исследовательский технологический университет „МИСиС“, Москва, Россия

¹ Университет г. Линчепинга, Линчепинг, Швеция

E-mail: ivan.bleskov@gmail.com

(Поступила в Редакцию 26 января 2010 г.)

В рамках теории функционала плотности в базисе точных МТ-орбиталей в сочетании с приближением когерентного потенциала исследованы электронная структура и параметры основного состояния жаропрочных сплавов на основе $B2$ RuAl . Показано, что число состояний на уровне Ферми для сплавов $\text{Ru}_{1-x}\text{Me}_x\text{Al}$ в зависимости от содержания легирующего металла имеет минимум, свидетельствующий об изменении топологии поверхности Ферми и о наличии особенностей в поведении упругих констант. Сделан вывод о том, что электронная структура сплавов может быть описана в рамках модели жесткой зоны. Дано объяснение нелинейному изменению параметров решетки сплавов.

Работа поддержана Российским фондом фундаментальных исследований (грант № 07-02-01266), Шведским фондом стратегических исследований (SSF) и Фондом Горана Йоханссона.

1. Введение

Современные жаропрочные сплавы на основе никеля способны работать при температурах, приближающихся к 70% от их температуры плавления ($T_m = 1638^\circ\text{C}$); при температуре порядка 1150°C материал теряет свои прочностные свойства. Поэтому очевидно, что разработка новых моделей двигателей и турбин требует создания сплавов с более высокой рабочей температурой и прочностью. В связи с этим использование сплавов металлов группы платиноидов представляется новым и заслуживающим интереса подходом, поскольку эти металлы образуют интерметаллиды с кубической симметрией и высокой температурой плавления. Среди недавно предложенных материалов для указанных выше целей представляют интерес также сплавы на основе интерметаллида RuAl со структурой $B2$ (CsCl).

Известно, что $B2$ RuAl заметно превосходит по многим параметрам такие интерметаллиды со структурой $B2$, как NiAl , CoAl , FeAl [1–6]. Температура плавления RuAl составляет 2380 К (для NiAl , FeAl , CoAl температура плавления соответственно равна 1911, 1583, 1921 К) [7]. $B2$ RuAl обладает высокой прочностью при повышенных температурах и хорошим сопротивлением ползучести; имеет высокую ударную вязкость при комнатных температурах. Наличие большого количества независимых систем скольжения (векторы скольжения $\langle 100 \rangle$, $\langle 111 \rangle$ и $\langle 110 \rangle$) [8–10] обеспечивает RuAl существенную пластичность, что резко отличает его от большинства интерметаллидов, которые преимущественно являются хрупкими при комнатной температуре. Тепло- и электропроводность RuAl [11–13] сравнимы с таковыми для чистых металлов. Совокупность указанных характеристик наряду с отличной стойкостью к окислению и коррозии [8,11,14] делает этот интерметаллид привлека-

тельный материал для создания жаропрочных структурных компонентов реактивных авиа- и ракетных двигателей, энергетических турбин (направляющие и рабочие лопатки турбин, камеры сгорания, защитные покрытия), а также для применения в химической промышленности (антикоррозийные покрытия) и энергетические отрасли (электроды свечей зажигания) [15].

Помимо преимуществ, которыми обладает RuAl , этот материал имеет также и некоторые недостатки, обусловленные в первую очередь свойствами самого рутения, который, будучи элементом платиновой группы, обладает высокой плотностью, что, очевидно, ограничивает возможности применения сплавов на его основе в качестве конструкционных материалов в реактивных двигателях. Кроме того, рутений сравнительно дорог. Поэтому возникает задача частичной замены атомов рутения атомами других элементов с целью уменьшения плотности сплава и его стоимости, не допуская при этом существенного ухудшения прочностных свойств сплава. В настоящей работе в качестве легирующих элементов рассматриваются Ni , Co , Fe , Ir . Выбор указанных элементов обусловлен тем, что эти атомы замещают атомы Ru в RuAl , поскольку они образуют фазы, изоструктурные с $B2$ RuAl , — NiAl [16–22], CoAl [17,23,24], FeAl [23,24] и IrAl [25,26]. Экспериментально [27] и теоретически [18,28] было показано, что энергетически выгодным является замещение именно атомов Ru атомами Ni и других указанных элементов.

Поскольку деформационные и прочностные характеристики исследуемых сплавов сильно зависят от кристаллической структуры, элементного состава и особенностей межатомного взаимодействия [29], знание электронной структуры является базисом, на основе которого возможно фундаментальное понимание прочностных и пластических свойств материалов, их зави-

симостей от концентрации легирующего компонента, а также предсказание широкого спектра параметров, характеризующих исследуемые жаропрочные сплавы.

2. Методика расчета

Расчеты полной энергии, выполненные для определения равновесного периода решетки a_0 , модуля всестороннего сжатия B_0 и плотности электронных состояний, были проведены в рамках теории функционала плотности с использованием метода точных МТ-орбиталей (TMTD) [30] для решения уравнений Конна–Шэма. В рамках этого подхода МТ-потенциалы в межсферной области предполагаются перекрывающимися, что делает точность метода TMTD сравнимой с точностью методов полного потенциала. Комбинация метода TMTD с приближением когерентного потенциала [30,31] позволяет проводить исследования неупорядоченных сплавов замещения. Обменно-корреляционные эффекты в электронном газе учтены в рамках обобщенных градиентных поправок (GGA) [32] к приближению локального потенциала. Базисный набор волновых функций TMTD включал s -, p -, d -, f -орбитали. При интегрировании по энергии в комплексной плоскости было взято 16 точек на полуокружном контуре. Атомные сферы Ru, Al и Me ($Me = Ni, Co, Fe, Ir$) были выбраны равными радиусу Вигнера–Зейтца в каждом сплаве. При интегрировании по неприводимой зоне Бриллюэна для простой кубической решетки использовалось около 3000 k -точек в обратном пространстве. Сходимость по энергии составляла 10^{-7} Ry. Для каждой концентрации задавался ряд значений радиуса Вигнера–Зейтца, варьировавшийся с шагом 0.05 а.и. Полученные для каждого значения радиуса Вигнера–Зейтца полные энергии E_{tot} сплава были использованы для определения параметров основного состояния (параметр решетки a_0 и модуль всестороннего сжатия B_0) по методу, предложенному в [33]. Далее уже с равновесными значениями периода решетки проводился расчет электронной структуры и плотности состояний.

3. Результаты

В таблице представлены результаты расчетов основного состояния для чистых соединений со структурой $B2$. Для сравнения приведены также результаты экспериментальных и других теоретических работ. Можно видеть, что расчеты, выполненные в рамках приближения локальной плотности (LDA), для RuAl, NiAl и FeAl дают заниженное по сравнению с экспериментом значение параметра решетки. В то же время GGA-расчеты в основном завышают параметр решетки. Результаты наших GGA-расчетов аналогичны результатам работ [34–36], использующих такой же обменно-корреляционный функционал. Поведение модуля всестороннего сжатия для RuAl и NiAl похожи: LDA-расчеты

Параметры основного состояния (период решетки a и модуль всестороннего сжатия B) $B2$ RuAl, NiAl, FeAl, CoAl и IrAl (для каждого соединения первая строка соответствует результатам наших расчетов, следующие — результатам работ [34–54])

Соединение	$a, \text{\AA}$	B, GPa
RuAl	3.0077	202
	2.9914, 2.9868 (Э) [17]	207 (Э) [9]
	3.005 (LAPW)[18]	230 (LDA) [39]
	2.994 (Э) [19]	208 (Э) [40]
	2.9916 (Э)[23]	223 (LDA) [41]
	3.03 (Э) [38]	213 (LDA) [42]
	2.96 (LDA) [39]	
NiAl	2.8939	158
	2.89 (Э) [43]	186 (LDA) [39]
	2.8864 (Э) [44]	184 (LDA) [41]
	2.84 (LDA) [45]	166 (Э) [43]
		175 (LDA) [45]
FeAl	2.8703	180
	2.91 (Э) [44]	195 (LDA) [39]
	2.82 (LDA) [45]	188 (LDA) [41]
	2.86 (Э) [46]	201.5 (LDA) NM [49]
	2.875 (GGA) [34]	190 (LDA) FM [49]
	2.862 (Э) [47]	113, 116 (LDA) [37]
	2.81 (LDA) [48]	150 (Э) [50]
	2.9084 (Э) [49]	
	2.856 (расчет FM) [49]	
CoAl	2.8530	179
	2.86 (LDA) [39]	162 (Э) [39]
	2.8619 (Э) [44]	192 (LDA) [41]
	2.8611 (Э) [47]	
	2.80 (LDA) [45]	
IrAl	3.0189	228
	2.983 (Э) [47]	
	2.98 (Э) [51]	
	3.02 (GGA) [35]	
	2.9667 (Э) [52]	
	2.978 (Э) [53]	
	2.9860 (Э) [54]	
	3.028 (GGA) [36]	

Примечание. Э — экспериментальные значения, LAPW (linearized augmented planewaves) — метод линеаризованных присоединенных плоских волн, NM (nonmagnetic) — немагнитный, FM (ferromagnetic) — ферромагнитный.

завышают величину B , GGA — дает заниженное значение B . С другой стороны, для FeAl LDA-расчеты, проведенные в работе [37], дают значительно меньшую величину для B , что может быть связано с использованием LDA-функционала, предложенного [55].

Расхождение между рассчитанными и экспериментальными значениями B составляет 5–10%, что является характерной ошибкой для расчетов из первых принципов, точность которых зависит от типа использованного обменно-корреляционного потенциала. Хорошее совпадение полученных результатов с экспериментальными данными и результатами других расчетов свидетельствует о достоверности полученных результатов.

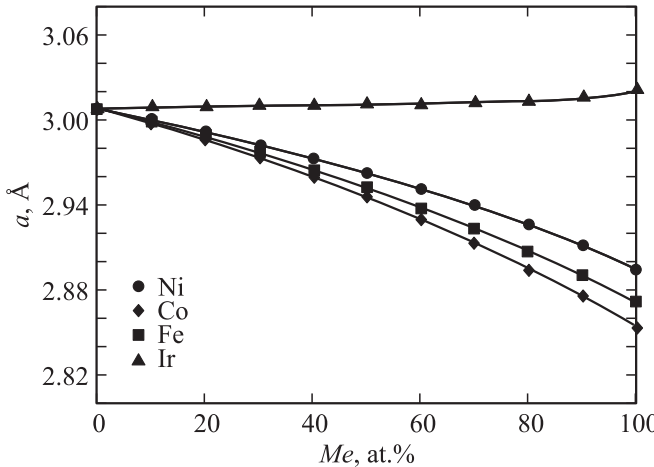


Рис. 1. Период решетки сплавов $Ru_{1-x}Me_xAl$ в зависимости от концентрации легирующего элемента.

На рис. 1 представлены зависимости равновесных периодов решетки от концентрации легирующего элемента. Для Ni, Co, Fe наблюдается некоторое отклонение от линейной зависимости, соответствующей правилу Вегарда. Подобное поведение периода решетки для системы $(Ru, Ni)Al$ наблюдалось в работе [18]. В связи с этим укажем, что атомные радиусы Ni, Co, Fe, равные соответственно 1.24, 1.25, 1.26 Å, и, как видно из рисунка, увеличение концентрации указанных элементов в сплаве $Ru_{1-x}Me_xAl$ приводит к уменьшению периода решетки, хотя и нелинейным образом. Анализ полученных результатов показывает, что на графиках зависимостей параметров решетки от содержания легирующего металла можно выделить два участка. Первый простиряется от 0% примерно до 50%, и здесь зависимость периода решетки практически линейная. На втором участке (от 50 до 100%) наблюдается отклонение от линейной зависимости и более быстрое уменьшение периода решетки. Такое поведение периода решетки в указанных интервалах объясняется следующим образом. В первом из них по мере увеличения концентрации легирующего элемента характер связи в сплаве остается металлическим и играет роль только размерный эффект, благодаря которому период решетки уменьшается линейно. Во втором интервале с дальнейшим ростом содержания легирующего металла начинает проявляться ковалентная составляющая в химической связи [29], которая в сочетании с размерным эффектом приводит к отклонению от линейной зависимости и более быстрому уменьшению параметра решетки. Роль ковалентной составляющей, обусловливающей нелинейное поведение параметра решетки в сплавах $Fe_{1-x}Cu_xAl$, была отмечена в работе [34]. Зависимости модуля всестороннего сжатия от содержания легирующего металла являются для $Ru_{1-x}Me_xAl$ почти линейными (рис. 2). Некоторое отклонение, как и в случае с периодом решетки, явля-

ется следствием изменения характера связи с ростом концентрации легирующего элемента.

Заметно некоторое несоответствие рассчитанного значения периода решетки для IrAl и эксперимента [47,51–54]. Следует отметить, что данные о значениях периода решетки для IrAl довольно противоречивы. В работах [47,51–53] указано, что период решетки IrAl меньше, чем у RuAl. Однако период решетки IrAl, рассчитанный в работах [35,36] (3.02 и 3.028 Å), оказывается больше, чем у RuAl, и практически совпадает со значением, полученным в настоящей работе (3.0189 Å). Отметим также, что концентрационная зависимость параметра решетки для сплавов $(Ru, Ir)Al$ ведет себя несколько необычно: он практически не зависит от состава. Рассчитанные равновесные параметры решеток $B2$ RuAl и IrAl различаются менее чем на 0.5% (3.0077 и 3.0189 Å соответственно). Логично предположить, что легирование Ir, атомный радиус которого равен 1.36 Å (всего +1.5% от атомного радиуса Ru), не приведет к заметному увеличению периода решетки сплавов $Ru_{1-x}Ir_xAl$, что и происходит согласно результатам наших расчетов.

Отметим, что $B2$ FeAl рассматривался нами как немагнитный в соответствии с экспериментальными данными [49,56]. Природа магнетизма в FeAl обсуждалась в работах [34,49]. В [56] было показано, что учет эффективного отталкивания d -электронов Fe в рамках методов LDA с учетом кулоновского взаимодействия между локализованными (d или f) электронами (LDA + U) и LDA с учетом поправки на самодействие (self-interaction correction) (LDA + SIC) приводят к сдвигу уровня Ферми к большим энергиям и, следовательно, к уменьшению плотности состояний на уровне Ферми, для которой критерий Стонера уже не выполняется. Однако использование этих методов выходит за рамки наших исследований. Укажем, кроме того, что немагнитный FeAl был рассмотрен при исследовании фононных дисперсионных кривых [57], а также предела прочности [45].

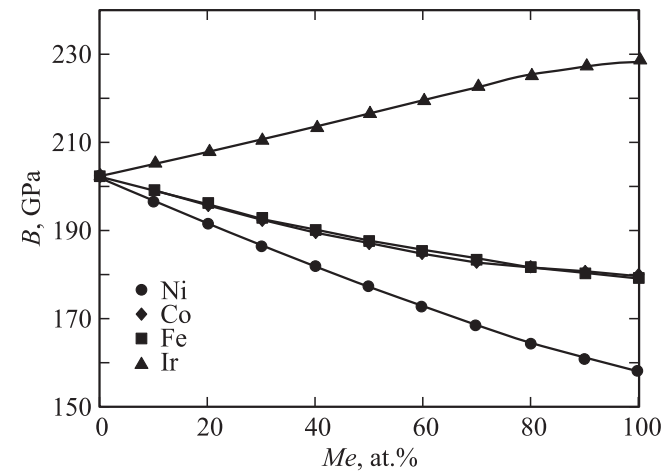


Рис. 2. Модуль всестороннего сжатия сплавов $Ru_{1-x}Me_xAl$ в зависимости от концентрации легирующего металла.

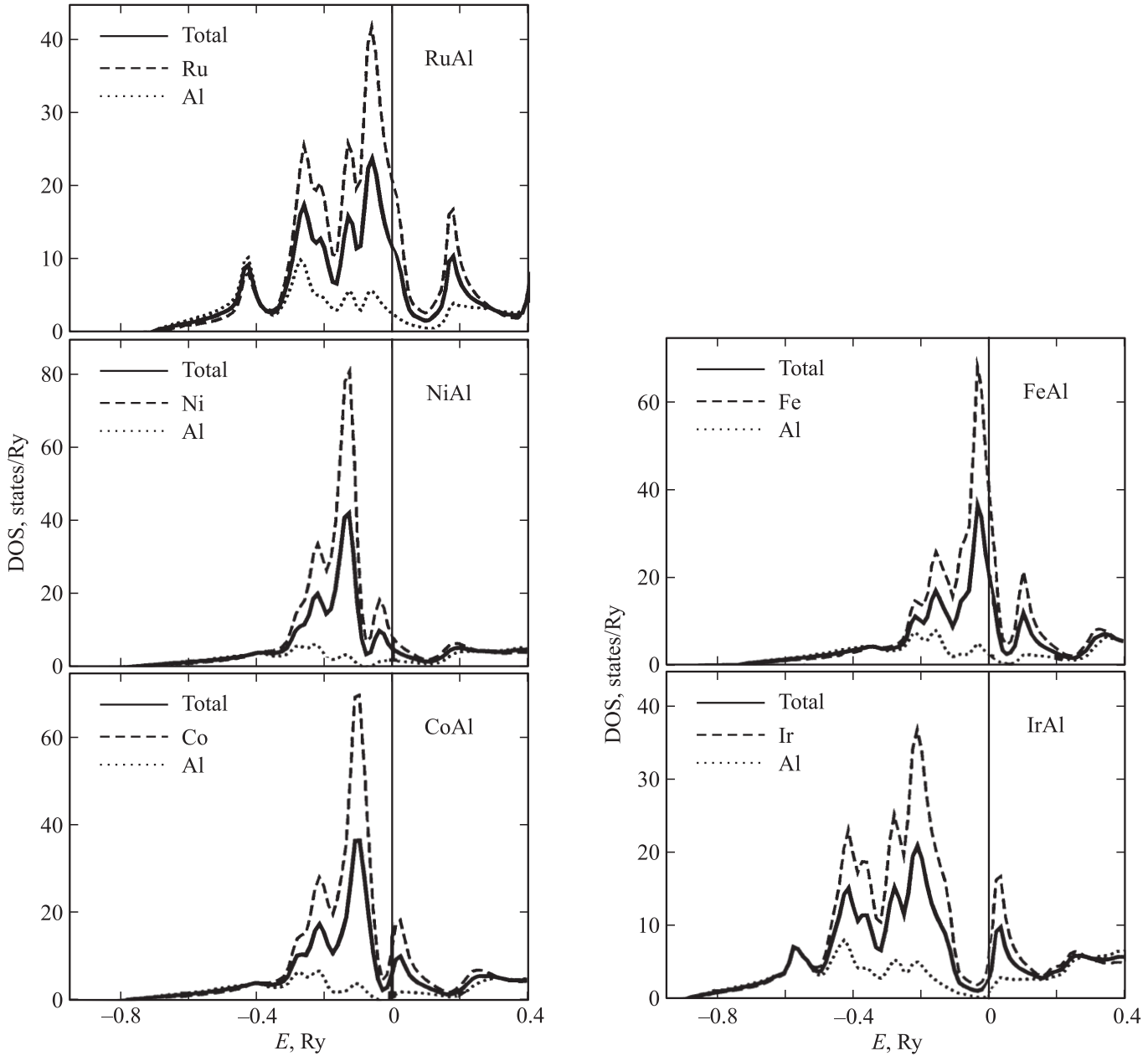


Рис. 3. Плотность электронных состояний для $B2$ структур.

На рис. 3 представлены плотности электронных состояний (DOS) чистых интерметаллидов со структурой $B2$. Форма DOS согласуется с результатами расчетов плотности электронных состояний, полученных в работах [41,45]. Видно, что основной вклад (по сравнению с атомами Al) в плотность электронных состояний вносят атомы переходных металлов. Из рис. 4, где представлена плотность электронных состояний $B2$ RuAl, можно заметить, что вклад Al, обусловленный в основном s -электронами, существен лишь для глубоколежащих уровней энергии. На уровне Ферми вклад d -электронов Ru в плотность состояний является доминирующим. Эти d -электроны Ru гибридизуются с p -эле-

ктронами Al на уровне Ферми, где есть также небольшой вклад от d -электронов Al и p -электронов Ru. Следует обратить внимание на то, что для DOS чистых интерметаллидов довольно хорошо работает модель жесткой зоны (см. также [45]). Если учесть положение легирующих металлов в периодической таблице и за основу взять DOS для RuAl, то можно заметить, что FeAl имеет DOS, довольно похожую на DOS для RuAl (в окрестностях уровня Ферми), поскольку Fe и Ru являются элементами VIII группы. Добавление одного электрона в RuAl (Со или Ir) сдвигает уровень Ферми направо, за псевдоцелью, а в случае Ni (добавление двух электронов) уровень Ферми перемещается за пик правее псевдоцели.

В зависимости от содержания легирующего элемента число электронных состояний на уровне Ферми $N(E_F)$ ведет себя в соответствии с рис. 5. Из рисунка видно, что в случае легирования атомами Ni, Co и Ir концентрационная зависимость $N(E_F)$ имеет особенности, тогда

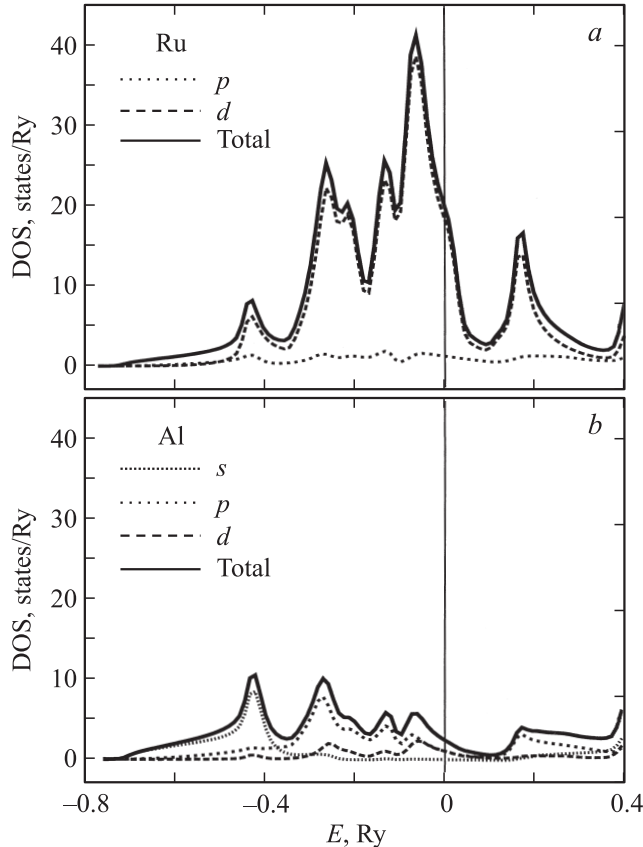


Рис. 4. Плотность электронных состояний B2 RuAl. Показаны наиболее важные парциальные вклады от Ru (p - и d -электроны) (a) и Al (s -, p - и d -электроны) (b).

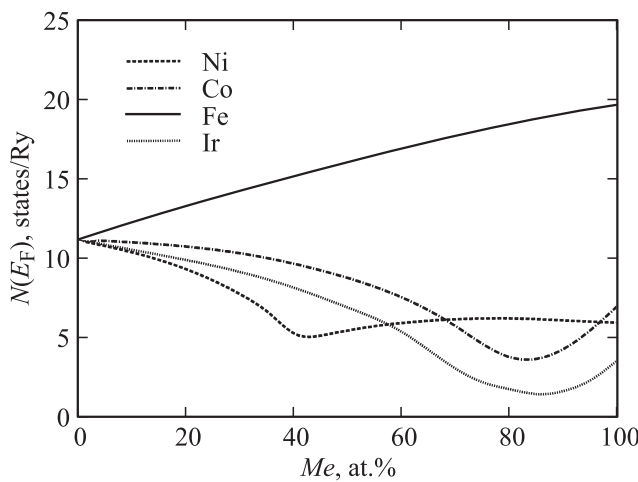


Рис. 5. Число состояний на уровне Ферми для сплавов $Ru_{1-x}Me_xAl$ в зависимости от содержания легирующего элемента.

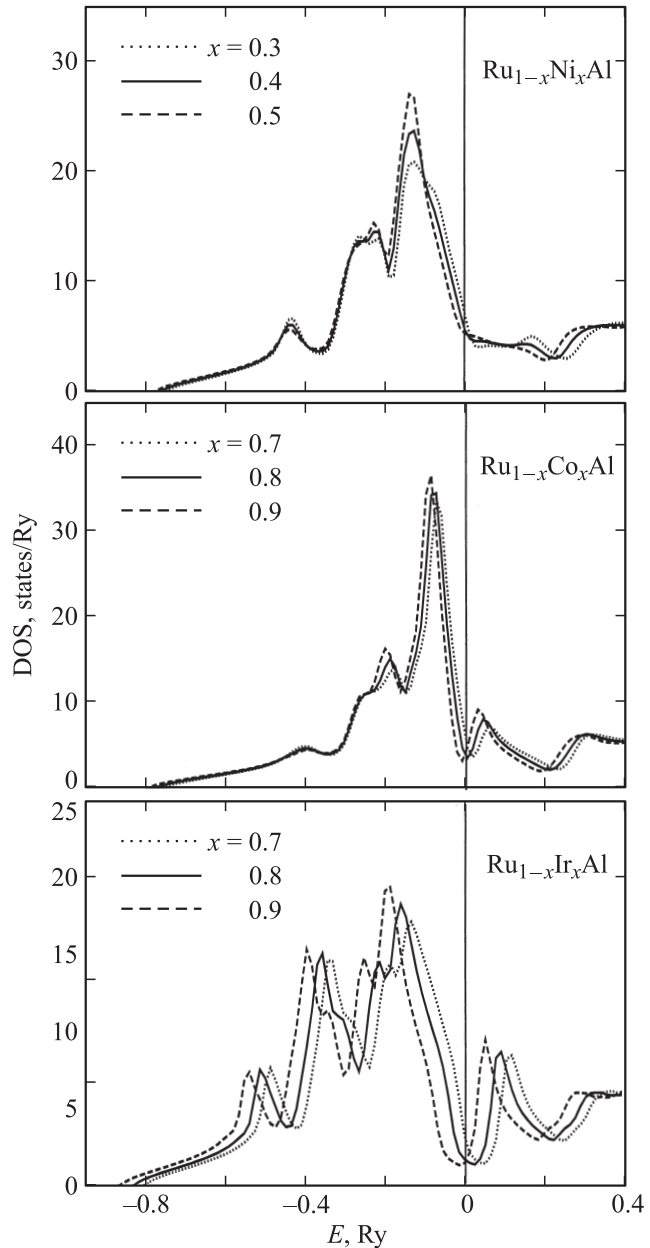


Рис. 6. Плотность электронных состояний в „критических“ концентрационных интервалах для $Ru_{1-x}Ni_xAl$ ($x = 0.3-0.5$) и для $Ru_{1-x}Co_xAl$, $Ru_{1-x}Ir_xAl$ ($x = 0.7-0.9$).

как в случае легирования атомами Fe число состояний на уровне Ферми монотонно увеличивается с ростом концентрации Fe. Это обусловлено тем, что в наших расчетах FeAl рассматривался как немагнитный материал, имеющий, следовательно, более высокую плотность состояний, для которой выполняется критерий Стонера. Как известно, традиционные *ab initio* методы неправильно описывают обменно-корреляционные эффекты в сильно коррелированных системах, вследствие чего завышают плотность состояний на уровне Ферми. Мы полагаем, что правильный учет обменно-корреляционных эффектов (или же отталкивания d -электронов Fe) изменит

наклон этой кривой, и с учетом DOS из [56] зависимость $N(E_F)$ в $\text{Ru}_{1-x}\text{Fe}_x\text{Al}$ станет постоянной. Если в качестве легирующего элемента выступает Ni, то на графике имеется довольно резкий минимум в районе 42 at.% Ni, что указывает на значительное изменение межатомного взаимодействия в сплаве. В случае легирования атомами Co и Ir внешний вид кривых качественно совпадает: они имеют минимум при концентрации легирующего элемента в области 80–85 at%. Поведение DOS в указанных интервалах представлено на рис. 6, где также видно, что свойства этих сплавов могут быть описаны в рамках модели жесткой зоны. При этом форма DOS для сплавов (Ru, Ir)Al и (Ru, Co)Al остается практически неизменной, сдвигается только уровень Ферми. Для (Ru, Ni)Al-сплавов значительно меняется также главный пик — он становится острее.

Как было показано в [29], особенности в поведении зависимости числа состояний на уровне Ферми являются причиной наличия особенностей в зависимостях упругих констант от концентрации легирующего элемента.

4. Заключение

Электронная структура, параметр решетки и модуль всестороннего сжатия жаропрочных сплавов на основе $B2$ RuAl определены при помощи метода точных МТ-орбиталей и приближения когерентного потенциала. Полученные значения периода решетки и модуля всестороннего сжатия находятся в хорошем соответствии с экспериментальными данными и результатами ранее проведенных теоретических расчетов. Наблюдаемое отклонение от линейной зависимости периода решетки и модуля всестороннего сжатия и легирования Ni, Co, Fe объясняется изменением природы химической связи — усилением ковалентной составляющей при увеличении концентрации легирующего элемента. В случае легирования Ir наблюдается монотонный линейный рост (в пределах ошибки расчетов) модуля всестороннего сжатия, а период решетки остается практически постоянным. Последнее объясняется чрезвычайно малым различием атомных радиусов у Ru и Ir. Этот факт представляет интерес для возможных практических приложений сплавов (Ru, Ir)Al. Положение уровня Ферми в DOS в зависимости от содержания легирующего металла показывает применимость модели жесткой зоны для сплавов (Ru, Me)Al, при этом значение $N(E_F)$ проходит через минимум для Ni(42%) и Co, Ir($\sim 82\%$). Уменьшение $N(E_F)$ свидетельствует об изменениях в межатомных взаимодействиях в сторону ковалентной (направленной) связи, что может привести к упрочнению сплава.

Список литературы

- [1] R.L. Fleischer. J. Matter. Sci. **22**, 2281 (1987).
- [2] R. Fleischer, R. Gilmore, R. Zabala. Acta Met. **37**, 2801 (1986).

- [3] R.L. Fleischer, A.I. Taub. J. Metals **41**, 8 (1989).
- [4] D. Anton, D. Shah, D. Duhl, A. Giamei. J. Metals **41**, 12 (1989).
- [5] R. Fleischer, R. Zabala. Met. Mater. Trans. A **21**, 2709 (1990).
- [6] R. Fleischer. In: Intermetallic compounds / Eds J. Westbrook, R. Fleischer. Wiley, N. Y. (1994). V. 2. P. 237.
- [7] Binary alloy phase diagrams /Eds T.B. Massalski, H. Baker, L.H. Bennett, J.L. Murray. ASM International, Materials Park (1986). 2224 p.
- [8] R. Fleischer, D. McKee. Met. Mater. Trans. A **24**, 759 (1993).
- [9] R. Fleischer, R. Field, C. Mriant. Met. Mater. Trans. A **22**, 403 (1991).
- [10] D.C. Lu, T.M. Pollock. Acta Mater. **47**, 1035 (1999).
- [11] W. Wopershow, C. Raub. Metallwissenschaft Technik **33**, 736 (1979).
- [12] E.G. Smith, C.I. Lang. Scripta Met. Mater. **33**, 1225 (1995).
- [13] S.A. Anderson, C.I. Lang. Scripta Mater. **38**, 493 (1998).
- [14] F. Soldera, N. Ilić, S. Brännström, I. Barrientos, H. Gobran, F. Mücklich. Oxidation Metals **59**, 529 (2003).
- [15] F. Mücklich, N. Ilić. Intermetallics **13**, 5 (2005).
- [16] I.J. Horner, N. Hall, L.A. Cornish, M.J. Witcomb, M.B. Cortie, T.D. Boniface. J. Alloys Comp. **264**, 173 (1998).
- [17] I.M. Wolff, G. Sauthoff. Acta Mater. **45**, 2949 (1997).
- [18] P. Gargano, H. Mosca, G. Bozzolo, R.D. Noebe. Scripta Mater. **48**, 695 (2003).
- [19] A. Sabariz, G. Taylor. In: Mater. Res. Soc. Symp. Proc., V. 460. Pittsburgh, PA, USA: MRS (1997). P. 611.
- [20] S. Chakravorty, D. West. Scripta Met. **19**, 1355 (1985).
- [21] S. Chakravorty, D. West. J. Mater. Sci. **21**, 2721 (1986).
- [22] K.W. Liu, F. Mücklich, W. Pitschke, R. Birringer, K. Wetzig. Mater. Sci. Eng. A **313**, 187 (2001).
- [23] R. Fleischer. Acta Met. Mater. **41**, 863 (1993).
- [24] R. Fleischer. Acta Met. Mater. **41**, 11997 (1993).
- [25] P.J. Hill, L.A. Cornish, M.J. Witcomb. J. Alloys Comp. **280**, 240 (1998).
- [26] L. Cornish, M. Witcomb, P. Hill, I. Horner. South African J. Sci. **95**, 517 (1999).
- [27] R. Fleischer. J. Mater. Sci. Lett. **7**, 525 (1988).
- [28] G.H. Bozzolo, R.D. Noebe, C. Amador. Intermetallics **10**, 149 (2002).
- [29] I.D. Bleskov, E.A. Smirnova, Y.K. Bekilov, P.A. Korzhavyi, B. Johansson, M. Katsnelson, L. Vitos, I.A. Abrikosov, E.I. Isaev. Appl. Phys. Lett. **94**, 161901 (2009).
- [30] L. Vitos. Computational quantum mechanics for materials engineers. Springer, London (2007), 237 p.
- [31] L. Vitos, I.A. Abrikosov, B. Johansson. Phys. Rev. Lett. **87**, 156401 (2001).
- [32] J.P. Perdew, K. Burke, M. Ernzerhof. Phys. Rev. Lett. **77**, 3865 (1996).
- [33] O.L. Anderson. Equations of state of solids for geophysics and ceramic science. Oxford University Press, Oxford (1995). 405 p.
- [34] E.B. Шалаева, Н.И. Медведева, И.Р. Шеин. ФТТ. **49**, 1195 (2007).
- [35] C. Jiang, B. Gleeson. Acta Mater. **54**, 4101 (2006).
- [36] T. Abe, C. Kocer, M. Ode, H. Murakami, Y. Yamabe-Mitarai, K. Hashimoto, H. Onodera. Calphad **32**, 686 (2008).
- [37] S.H. Yang, M.J. Mehl, D.A. Papaconstantopoulos, M.B. Scott. J. Phys.: Cond. Matter **14**, 1895 (2002).
- [38] W. Obrowski. Naturwissenschaften **47**, 14 (1960).

- [39] M. Mehl, B. Klein, D.A. Papaconstantopoulos. In: *Intermetallic compounds: principles and practice* / Eds J. Westbrook, R. Fleischer. John Wiley and Sons, London (1995). V. 1. P. 195.
- [40] R.L. Fleischer. *ISIJ International* **31**, 1186 (1991).
- [41] D. Nguyen-Manh, D.G. Pettifor. *Intermetallics* **7**, 1095 (1999).
- [42] W. Lin, J.-H. Xu, A. Freeman. *J. Mater. Res.* **7**, 592 (1992).
- [43] G. Simmons, H. Wang. *Single crystal elastic constants and calculated aggregate properties: a handbook*. MIT Press, Cambridge, MA, USA (1971). 370 p.
- [44] W.B. Pearson. *A handbook of lattice spacings and structures of metals and alloys. International series of monographs on metal physics and physical metallurgy*. Pergamon Press, N.Y. (1967). 1044 p.
- [45] T. Li, J.W. Morris, D.C. Chrzan. *Phys. Rev. B* **70**, 054 107 (2004).
- [46] C.J. Smithells. *Metals reference book*. Butterworths Sci. Publ., Ltd., London (1962). V. 2. 2080 p.
- [47] P. Villars, L. Calvert. *Pearson's handbook of crystallographic data for intermetallic phases*. ASM, Metals Park, OH USA (1985). 2886 p.
- [48] N.I. Medvedeva, Y.N. Gornostyrev, D.L. Novikov, O.N. Myrsov, A.J. Freeman. *Acta Mater.* **46**, 3433 (1998).
- [49] V. Moruzzi, P.M. Marcus. *Phys. Rev. B* **47**, 7878 (1993).
- [50] H. Leamy. *Acta Met.* **15**, 1839 (1967).
- [51] P. Esslinger, K. Schubert. *Z. Metallkdunde* **48**, 126 (1957).
- [52] K. Axler, R. Roof. In: *Advances in X-ray analysis*. Plenum Press, N.Y., USA (1986). V. 29. P. 333.
- [53] H. Schulz, K. Ritapal, W. Bronger, W. Klemm. *Z. Anorg. Allgem. Chem.* **357**, 299 (1968).
- [54] A. Chiba, T. Ono, X.G. Li, S. Takahashi. *Intermetallics* **6**, 35 (1998).
- [55] L. Hedin, B.I. Lundqvist. *J. Phys. C: Solid State Phys.* **4**, 2064 (1971).
- [56] P. Mohn, C. Persson, P. Blaha, K. Schwarz, P. Novák, H. Eschrig. *Phys. Rev. Lett.* **87**, 196 401 (2001).
- [57] B. Meyer, V. Schott, M. Fähnle. *Phys. Rev. B* **58**, R 14 673 (1998).